

科研資料彙編

(1965~1976)

第二分冊

山东省医学科学研究所

1977.12

目 录

中子小剂量慢性照射对家兔的影响	山东省医科所工研室	(1)
12例慢性中子照射患者的临床治疗观察	山东省医科所工研室 济南市中心医院职业病科	(23)
某铀矿工人连续十五年健康状况观察总结	山东省医科所工研室 山东省金岭铁矿医院	(27)
129例中子测井工作人员晶体初步观察	胜利油田职工医院 山东省医科所工研室	(37)
100例中子测井工作人员外周血象初步观察	胜利油田卫生防疫站 山东省医科所工研室	(41)
中子测井卫生防护的调查研究	山东省医科所工研室	(44)
铀矿工人内照射剂量和健康状况的调查报告	山东省医科所工研室	(49)
医院X线工作者所受剂量的调查研究	山东省医科所工研室	(55)
铀矿废水废物的处理	山东省医科所工研室 山东省金岭铁矿	(65)
³² 磷——敷贴治疗过敏性鼻炎	山东省医科所工研室	(77)
233例甲亢患者甲状腺吸 ¹³¹ 碘百分率的观察	山东省医科所工研室	(79)
应用放射性同位素对麻风病进行试验治疗研究的总结	山东省医科所工研室 淄博市皮肤病防治站	(82)
³² 磷、 ⁹⁰ 锶、 ¹⁰⁶ 钌敷贴器治疗宫颈糜烂	山东省医科所工研室	(87)
³² 磷、 ⁹⁰ 锶、 ¹⁴⁴ 铯、 ¹⁰⁶ 钌皮肤敷贴器的制备和临床应用的疗效比较	山东省人民医院 山东省医科所工研室	(90)
¹³¹ 碘——纤维蛋白元的标记	山东省医科所工研室	(101)
¹³¹ 碘——甲胎蛋白的标记	山东省医科所微生物、工研室	(102)
棉酚—— ⁶⁹ Fe在动物体内的分布及排泄	山东省中医药研究所 山东省医科所工研室	(107)
日大气沉降灰(或雨水中) ¹³⁷ Cs、 ¹⁴⁰ Ba、 ⁸⁹ Sr、 ⁹⁰ Sr、 ¹⁴¹ Ce、 ¹⁴⁴ Ce、 ⁹⁵ Zr等裂变元素系统分析方法的探讨	山东省医科所工研室	(110)
自然样品中放射性碘化学监测方法的探讨	山东省医科所工研室	(119)
水中放射性的快速测定	山东省医科所工研室	(124)
用四苯硼钠重量法测定生物样品中的钾	山东省医科所工研室	(130)
食道微型腔内计数管的试制和临床应用	华东电子管厂 山东省医科所工研室	(136)
热释光测量装置和剂量计的研制及应用	山东省医科所工研室	(138)
57型辐射级仪、58型乙丙种辐射仪电源的改装	山东省医科所工研室 山东省卫生防疫站	(153)

中子小剂量慢性照射对家兔的影响

山东省医科所工研室

近二十年来，随着原子反应堆和高能加速器的建造，中子射线在工、农业及其他科学领域的研究和应用日渐广泛。在我国利用中子射线在探矿、育种、测井、活化分析、医疗等方面也逐步开展。特别是中子测井在油田开发事业中已成为不可缺少的重要手段。在当前石油工业大发展的新形势下，接触中子的人员日益增多。

根据我们对胜利、大港油田中子测井卫生防护调查，在正常的测井过程中均不超过国家规定的最大容许剂量。但测井工人晶体混浊的发生率、血相的变化以及性机能减退等与从事非放射性工作的测井工人相比，皆有显著差别。由于受中子的损伤，工人体质下降，致使这种熟练工人不断减少，影响了生产的顺利进行。为适应我国原子能事业的发展，保障油田工人的身体健康，开展对中子辐射效应及防治措施的研究，是一项十分重要的任务。

据此，我们除定期对油田中子测井工人进行查体及临床治疗观察外。还开展了中子慢性小剂量照射对家兔生物效应的观察，以期了解其损伤和恢复规律，为制定最大容许标准提供依据，为研究慢性中子小剂量照射，对人的影响提供动物实验资料。

实验方法和条件

一、动物及分组

实验动物为健康家兔，白色和青紫兰两种，体重均为1.5~2.0公斤，分笼喂养。实验动物共23只，雄兔20只，雌兔3只，分以下四组。见表1。

表1 分组与条件

分组	兔数 (只)	剂量率 (mrad/天)	累积剂量 (rads)	受照累积时间 (天)	恢复期观察天数
正常对照	5 (4♂1♀)	0	0	0	~
I	4 (♂)	5	1.35	270	274
II	6 (♂)	100	27.0	270	274
III	8 (6♂2♀)	368~94 (6小时/天)	84.5	433	365

二、照射条件及方法

1. 中子源装置及强度：

每次均用二个中子源，垂直装在一个由1.5mm厚黄铜制的圆锥管内，直径为20mm，长40mm。

照射分两阶段进行，第一阶段从1972年9月1日至73年1月18日，当时Po—Be中子源产额为 1.765×10^7 中子/秒；第二阶段从73年4月7日至74年7月7日，其源强产额为 3.934×10^7 中子/秒。

2. Po—Be中子源照射剂量计算：

(1) 距源投照距离为27cm。

(2) 动物(兔)剂量计算点，由嘴→尾根前四分之一处或后四分之一处，身高的中点(二分之一处)。求其全身的平均剂量。

(3) 拉德(rad)与中子流关系：

$$1\text{中子} = 4 \times 10^{-8} \text{ rad (Po—Be)}^{(2)}$$

(4) 计算受照剂量所用公式：

$$D = \left(\frac{I_0}{4\pi R^2} \times 4 \times 10^{-8} \text{ rad} \times t_1 \right) e^{-0.003 \frac{t_2}{T}}$$

注：I₀—源产额(中/秒) R—离源的距离(cm)

t₁—每天所受照时间(秒) t₂—源出厂到使用日期(天)

T—Po—Be源半衰期(天)。

3. 动物受照方式：

动物放在 $30 \times 14 \times 15\text{cm}^3$ 木制笼内，每周照射6天。为使动物全身所受剂量均匀，采取兔的前、后、左、右轮换照射。

由头→尾照射二天，兔纵轴方向和中子流方向一致。

由左侧→右侧轮换照射四天。兔纵轴方向和中子流方向垂直。

三、观察指标

1. 一般状况：活动，进食，体重等。

2. 外周血相：白细胞总数及分类、红细胞总数、血红蛋白、血小板均用试管法行常规检查。

3. 非特异性免疫机能测定：白细胞吞噬指数。

4. 生殖系统：

(1) 精液量，精子活动度，精子死亡数，精子数(亿/ml)。

(2) 交配试验：选择一定的实验家兔，使其与正常家兔交配，观察生殖能力及子代情况。

(3) 睾丸病理学检查。

5. 免眼晶状体活体及病理学检查。

6. 外周血淋巴细胞染色体畸变值观察。

7. 病理解剖学观察：睾丸，晶状体及内脏的病理改变。

8. 死亡情况。

上述1~4项指标一个月检查一次；第5项二个月查一次；第6项仅在恢复期作一次；第7项一侧睾丸在停照时摘除，其他均在实验结束时做。

实验结果

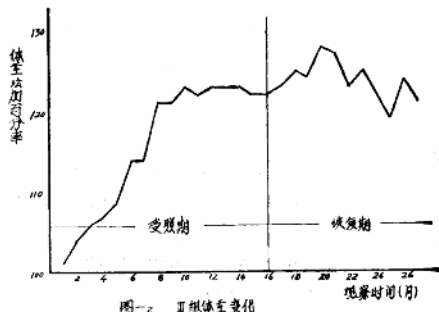
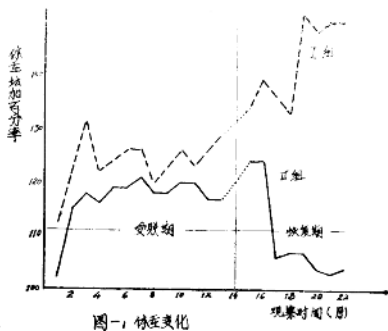
一、一般状况

所有实验动物，外观健康。开始照射半月余，受照动物表现食欲不振，活动差。过一周左右逐渐好转。随照射累积剂量的增加，未见进行性的食欲减退。

第Ⅱ组兔，受照后一个月有二分之一的家兔鼻尖发红，并有炎性渗出物，在整个受照过程中未见好转。其中有两只兔（白色）停照后一个月发现有不同程度的歪头，摇头，眼球呈水平震颤，站立不稳，二个月后逐渐自然恢复。在整个实验过程中，因对照组动物患“脚癖”未能控制，而中途被淘汰。

体重的变化（见图一~二）。照前体重为100%。

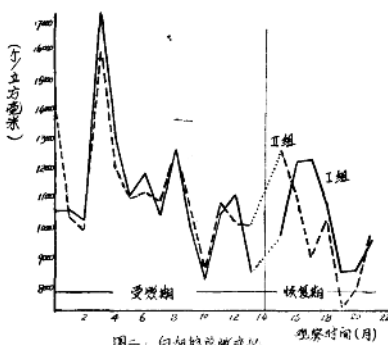
I组兔，在受照期平均体重增长124%，停照后二个月体重稍有下降，后又回升，此期平均增长143%。



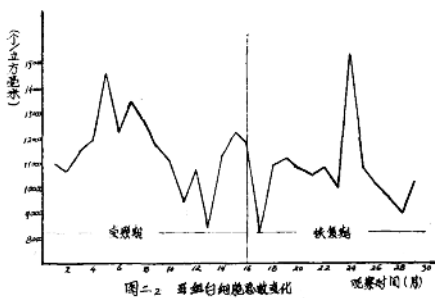
Ⅱ组兔，在受照期平均体重增长117%，停照后二个月体重下降幅度较Ⅰ组为大，回升不太明显。此期体重平均增长110%。第Ⅱ组兔，在受照期平均体重增长116%，停照后仍继续增加，此期体重平均增长124%。其中一兔，在受照期体重平均增长123%，停照后观察一年，最后体重为照前体重的174%，特别肥胖。

二、血相

1. 白细胞总数的变化（见图二1~2）。



图二-1 白细胞总数变化



图二-2 白细胞总数变化

在整个实验过程中白细胞总数呈波动状态，照后3~4个月上升达最高值，以后呈波动性下降。停照后恢复期观察，白细胞总数稍有回升，但仍处于较低的水平。

I组兔，照前白细胞总数平均值为 $14008/\text{mm}^3$ ，受照过程波动在 $8350\sim15812/\text{mm}^3$ 停照后波动在 $7133\sim1245/\text{mm}^3$ 。照后累积剂量为355毫拉德(mrad)时，白细胞升至 $15812/\text{mm}^3$ ，当累积剂量为945mrad时，白细胞下降至 $8350/\text{mm}^3$ 为最低值。停照8个月白细胞平均为 $9586/\text{mm}^3$ 。

Ⅱ组兔，照前白细胞总数平均值为 $10411/\text{mm}^3$ ，受照过程波动在 $8050\sim17171/\text{mm}^3$ ，停照后波动在 $8300\sim12183/\text{mm}^3$ ，照后累积剂量为 19rad 时，白细胞下降至 $8050/\text{mm}^3$ 。停照8个月白细胞平均为 $10011/\text{mm}^3$ 。

Ⅲ组兔，照前白细胞总数平均值为 $10988/\text{mm}^3$ ，受照过程波动在 $8214\sim14550/\text{mm}^3$ ，停照后波动在 $9050\sim15350/\text{mm}^3$ ，停照12个月白细胞总数平均为 $10790/\text{mm}^3$ 。

三组间白细胞总数的变化，均无显著性差异，与剂量率累积剂量均看不出相应的关系。

对照组白细胞总数波动在 $10792\sim13000/\text{mm}^3$ 。

2. 白细胞分类变化：

(1) 各种白细胞的比例无显著变化。

(2) I、Ⅱ组兔，中性粒细胞杆状核增多。Ⅱ组兔中性粒细胞分叶核较多。I组，照前杆状核平均为0.5%，照后累积剂量为 355mrad 时增至9.8%。Ⅱ组，照前杆状核为0%，照后累积剂量为 7.1rad 时，杆状核增至13.8%。对照组杆状核波动在0.2~0.4%。杆状核增多持续时间较长，整个受照期均维持在较高水平。停照后，杆状核比例未见减少，同时出现四、五叶核增多。Ⅲ组兔，受照期间，杆状核未见增多，但多叶核增多。当累积剂量达 77.2rad 时，四五叶核达10.7%，停照后第5个月时杆状核有所增多，整个恢复期维持在较高水平。

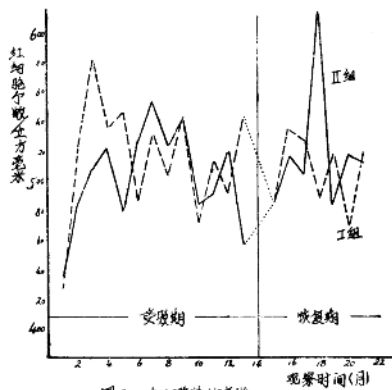
(3) 细胞质变的情况：由于原始资料不全，未能进行统计分析。但观察中子照射的家兔，血细胞质变较为明显。I组照后2个月，累积剂量为 235mrad 时，中性粒细胞颗粒变大。累积剂量为 265mrad 时出现淋巴细胞核染色质浓缩，有的胞浆中有空泡，以后随累积剂量增加，单核、淋巴均出现核浓缩。自照射后第5个半月至8个半月的停照期间，发现细胞质变更为明显。停照期检查，有的兔淋巴核浓缩达19%，中性核溶解达24%。复照后细胞质变，未见明显增加，反而有所减轻，除上述质变外，发现有空泡、中毒颗粒、双核淋巴、异型淋巴等。

I组，照后一个半月，累积剂量达 4.1rad ，出现淋巴核浓缩，以后随照射时间的推移，均出现上述同样的变化，但其质变程度，未见明显增加。

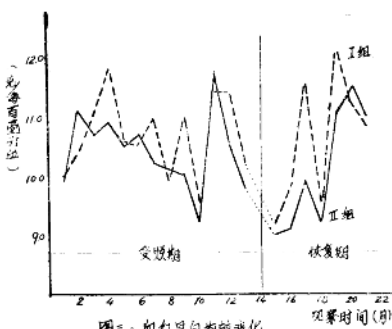
Ⅱ组，淋巴细胞质变出现较早，当累积剂量为 77.2rad 时，淋巴细胞核固缩，空泡，双核淋巴，异型淋巴达10.2%，单核样淋巴以及晚幼红细胞出现比上两组为多。正常对照组，上述质变很少见到。

停照后恢复期观察，I、Ⅱ组中性粒细胞的质变逐渐减少，停照后3—4个月已基本消失。但淋巴细胞的质变在停照后第二个月开始增多，直至停照后8—9个月基本消失。Ⅲ组，淋巴细胞质变恢复较慢，持续12个月仍可见双核、异型淋巴细胞。

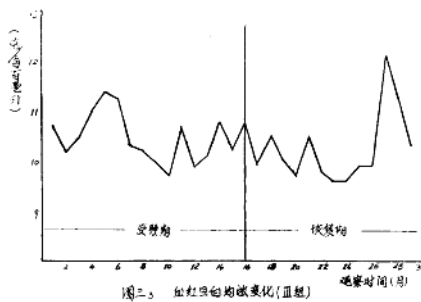
3. 红细胞总数及血红蛋白的变化（见图三1~3）。



图三：红细胞总数变化



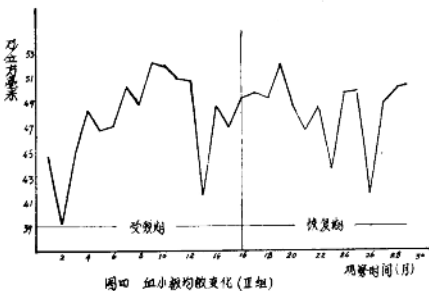
图四：血红蛋白浓度变化



图五：血红蛋白浓度变化(血球)

整个实验期红细胞、血红蛋白变化不明显。其波动规律与累积剂量的增加无相应的关系。

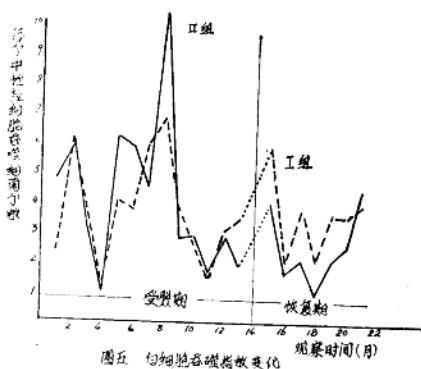
4. 血小板变化(见图四)。



图四：血小板均数变化(直组)

此项指标仅第Ⅱ组采用，从整个实验期血小板波动在39.3~52.0万/mm³与累积剂量的增加看不出相应的关系。

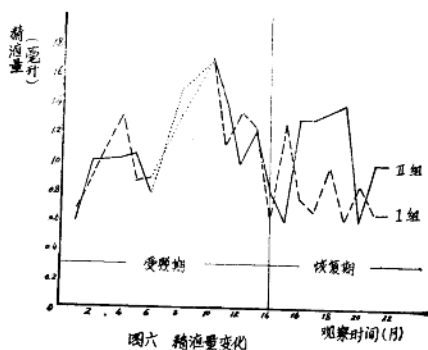
三、白细胞吞噬指数的变化（见图五）



白细胞吞噬指数波动较大，实验组，对照组均受多次取血刺激等因素的影响，总的波动规律为照射初期升高，后随累积剂量的增加而下降，停照后恢复，复照后又逐渐下降，Ⅰ组波动在1.36~6.78，Ⅱ组波动在1.14~10.4；对照组波动在3.13~9.35。恢复期Ⅰ组平均为3.56，Ⅱ组为2.54，均为偏低的水平。

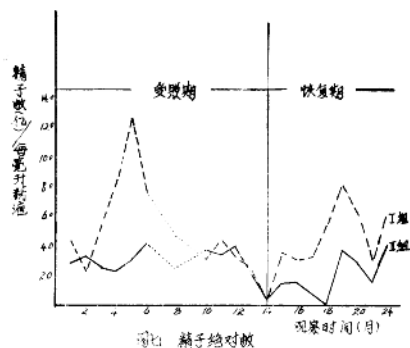
四、生殖系统的改变

1. 精液量的变化（见图六）。



精液量波动在0.3~2.10ml。其变化与剂量无明显关系。主要与取精液间隔时间长短有关。图中所示，高峰区均为二个月取一次，其余为每月取一次。

2. 精子数的变化（见图七）。

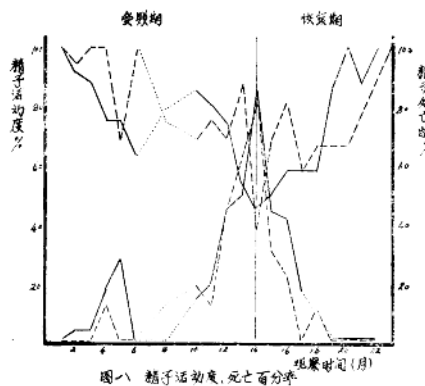


精子数有随累积剂量增加而减少的趋势。I组随累积剂量增加开始上升，到照后四个月累积剂量为4.40mrad时，精子数由照前3.10亿/ml至12.9亿/ml，以后随累积剂量增加而下降至1.24亿/ml。

II组随累积剂量增加，升高不明显，但随受照时间的延长降至0.38亿/ml。

由于兔的个体差异，其敏感程度不一，同一剂量组其生殖系统的变化也不一。I组中5号兔，在连续照射9个月，累积剂量为19.7rad时，精子全部死亡，甚至消失，持续达4个月之久。有时可见双头、双尾等畸型精子。但第II组中2号兔，当连续照射5个月，累积剂量达39.7rad，精子数仍有5.48亿/ml，而且活动正常，未见死精子。

3. 精子活动度及死亡百分率（见图八）。



I、Ⅱ组随累积剂量的增加，精子活动度逐渐降低，而精子死亡率逐渐升高，有的直至全部死亡。

停照后恢复期的观察：I、Ⅱ组，在停照9个月后，凡存活的家兔，从精子数，活动度均能恢复到照前的水平，精子死亡数消失。但Ⅲ组有七分之三的家兔，恢复不明显。

4. 交配实验

受照期，选择第Ⅲ组中5号兔，于照后十个月，累积剂量为22.7rad，23.7rad时，先后两次与两只正常母兔交配，均未受孕。

第Ⅲ组中6号雌兔，在受照三个月时，累积剂量为26.76rad时，与正常雄兔交配后，产4只小兔，外观无畸形。

停照后恢复期，存活的Ⅲ组2只雄兔，分别使其与健康母兔交配，母兔均受孕，产子兔，外观无畸形。

Ⅲ组存活的6只雄兔，都使其与母兔交配，但只有3只母兔受孕，所产子兔健在，无畸形。另3只母兔交配后未受孕。一只雌兔与正常雄兔交配亦受孕，产子兔7只，健在无畸形。受照组家兔，所产子兔，一般4—7只/窝，雌雄比例与正常兔无明显差异。

5. 睾丸病理学检查

照射结束后，分别将I、Ⅱ、Ⅲ组及时照组的雄兔，在局麻下，摘除左侧睾丸作病理检查。其重量见表2。

表2 睾丸重量

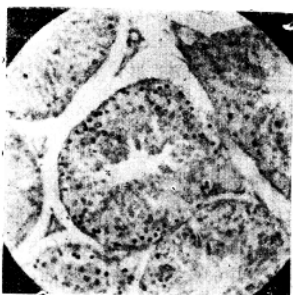
对照组		Ⅲ组兔 (84.5rad)			
编 号	睾丸重(g)	编 号	睾丸重(g)	编 号	睾丸重(g)
1	3.5	1	2.5	4	2.3
2	3.5	2	1.6	5	1.7
3	3.0	3	1.0	6	3.4

I、Ⅱ组摘除的睾丸，没有称重，但与正常对照组相比，均有不同程度的体积缩小。睾丸病理学改变见表3。

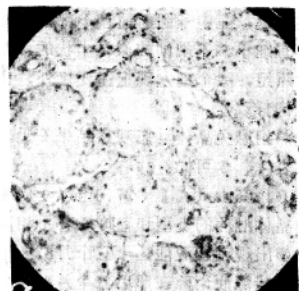
表 3 兔 霉 丸 病 理 学 改 变

分 组	累 积 剂 量 (rad)	照 射 结 束 时 摘 除 左 侧 睾 丸	停 照 后 恢 复 期 观 察
对照组 (5只)	0	曲精小管各层层次分明，细胞丰满，曲精小管直径大小一致，生精上皮无特殊异常发现（见图九）。	
I 组 (4只)	1.35	有些生精小管上皮层次减少，排列紊乱，精原细胞核固缩，胞浆空泡化。有的管腔A型精原细胞消失，精母细胞分裂减少，胞核染色质变粗，胞浆空泡化，精子细胞核染色质周边也形成空泡，有的脱落，堕入管腔，有的细胞自溶，只余裸核，但也有的兔，大部生精小管基本正常（见图十）。	均已基本恢复 正常
II 组 (6只)	27.0	多数生精小管、生精上皮层次减少，排列稀疏，有的只剩下单层细胞，主要是支持细胞及精母细胞。有些生精小管A型精原细胞减少或消失，B型精原细胞核固缩，胞浆空泡化，有些精子细胞核染色质周边形成空泡，有的精子细胞堕入管腔，有的聚成多核巨细胞，间质血管极度扩张、充血，有的区域呈片状出血（见图十一、十二）。	只有两只基本恢复正常，还有四只比停照前稍有恢复，细管层次仍减少，成熟精子少见。
III 组 (6只)	84.5	多数生精细管，生精上皮层次减少，排列稀疏、紊乱，有的只遗留细管的轮廓或只有少数精原细胞和支持细胞，以及零散的精母细胞，并有核固缩现象。部分生精细管，有略多的精母细胞，胞浆空网状，很难找到精子细胞，未见成熟精子，细管之间充血（见图十三）。	停照12个月后，大部分生精细胞的生精过程已恢复，只有少数生精上皮略有减少。睾丸重量也有明显增加。

受中子照射后家兔睾丸组织的变化



图九 正常睾丸组织



图十二受中子照射27.0rad后的变化



图十 受中子照射1.35rad后的变化



图十三受中子照射84.5rad后的变化



图十一受中子照射27.0rad后的变化

五、晶体的变化

实验兔，在中子照射前，全部用裂隙灯检查晶体一次，发现有少数家兔，在晶体后囊下皮质部有细小、不规则的似粉尘状的细微颗粒混浊。

对照组，除个别发现上述变化外，在整个实验过程中，无明显进展，始终无絮状，条索状及空泡样改变。

受照组家兔晶体动态观察结果（见表4、5）。

从表4、5可知：

I (1.35rad)、II (27.0rad)、III (84.5rad)各实验组，家兔的剂量率和累积剂量不同，晶体混浊的类型和程度亦各不相同。I组受照后二个月100%出现粉尘状混浊，十三个月50%出现絮状混浊，十三个月83%出现条索状混浊。II组受照前虽有三只（占37.5%）出现粉尘状混浊，但在照后二个月100%出现粉尘状，其中63%亦出现絮状混浊，四个月62.5%出现条索状混浊，十六个月50%出现空泡等改变，而I、II组始终未见空泡的出现。

表4 家兔晶体动态观察结果

组分	照射月数	0	1	2	3	4	5	6	7	8	9	10	11	12	13
	累积剂量														
	病変			360mrad							850mrad				1350mrad
I (4只兔)	照前 未见 混浊	→全部出现粉 尘状混浊	病変无明显进展	其中一只 兔进展为 絮状混浊	病変无明 显进展	两只兔为絮 状混浊另两 只兔仍为粉 尘状混浊	见图十五	见图十六							
II (6只兔)	照前 未见 混浊	三只 免粉 尘状， 其中 三只出现 点状 混浊	又三只免 出现粉尘 状，其中 三只出现 絮状混浊	由粉尘状点状混浊至第11个 月进展为条索状混浊	原粉尘状混 浊的三只免 为条索状混 浊	有五只免出 现条索状混 浊，一只免 仍为粉尘状 混浊	见图十七、十八								
III (8只兔)	照前 有三 只免在后 囊皮质下 有粉 尘状混浊 (2, 4, 6 号兔)	八只免全部出 现粉尘状混浊	上述五只免 由絮状混浊 进展为条索 状混浊，1 只免变化明 显	1, 3, 7号免 出现絮状混 浊，其它五 只免粉尘状 混浊，3, 7号免 化明显	由粉尘状， 絮状，条索 状至第十六 个月出现空 泡	2, 4, 5, 7号免出现 空泡，其它 病変仍存在	见图十九 、二十								

表 5 不同剂量组晶体混浊比较

组别	分类 出现时间 与频率 家兔 总数 (只)	粉 尘 状			絮 状			条 索 状			空 泡		
		时间 (月)	例数 (只)	出现率 (%)	时间 (月)	例数 (只)	出现率 (%)	时间 (月)	例数 (只)	出现率 (%)	时间 (月)	例数 (只)	出现率 (%)
正常对照	5	0	2	40	—	—	—	—	—	—	—	—	—
I (1.35) rad	4	2	4	100	9 13	1 2	25 50	—	—	—	—	—	—
II (27.0) rad	6	1 2	6 3	50 100	2	3	50	11 13	2 5	33 83	—	—	—
III (34.5) rad	8	0 2	3 8	37.5 100	2 6	5 8	62.5 100	4	5	62.5	16	4	50

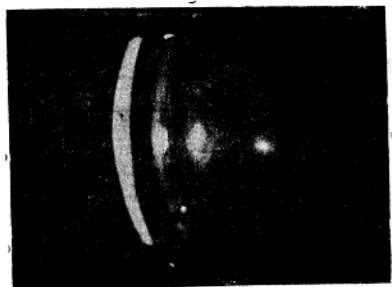
总之，三个不同剂量组随累积剂量的增加而晶体混浊程度加重，类型增加。

各组停照后恢复期观察，病变未见减轻，但从停照后四个月晶体混浊停止发展，呈稳定状态。

晶体病理学改变：选取了第Ⅲ组的2号兔，活体取出眼球，前后开窗，用火棉胶包埋，作冠状切片，以晶体后囊皮质部为主（厚15—20mm），用H·E染色。肉眼观察晶体呈块状混浊。显微镜下观察，发现晶体有的区域晶体纤维断裂，细胞坏死，组织结构不清或液化。正常晶体切面上看不到晶体纤维的细胞核。见图十四。



图十四：晶体纤维断裂，细胞坏死，组织结构不清、液化。



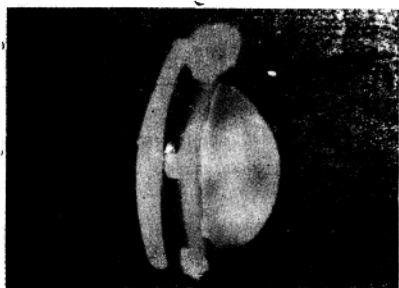
图十五 家兔正常晶体



图十六 家兔受1.35 rad 中子照射后其晶体前皮质、核部显示条索状混浊



图十七 家兔受27.0 rad 中子照射后其晶体前皮质、前囊显示条索状混浊



图十八 家兔受27.0 rad 中子照射后其晶体核及后囊显示条索状混浊



图十九 家兔受34.5 rad 中子照射后其晶体前囊显示条索状(树枝状)混浊



图二十 家兔受84.5 rad 中子照射后其晶体后囊显示絮状、条索状混浊

六、血淋巴细胞染色体畸变值

表 6 中子小剂量长期照射家兔后的染色体畸变

观察 动物 数	剂量 rad	受照家免子 代※※			
		0rad	1.35rad	27rad	84.5rad
观察 细胞 数	5 只	3 只	2 只	7 只	9 只
畸变类型	383	500	125	441	920
染色单 体畸变	单体缺失		1	1	1
	单体断裂				
染色体 畸变	双着丝点				2
	着丝点环				1
	相互易位			1	
	微小体				
畸变	臂间倒位				
	末端缺失	3	2	1	
	染色体间隙	1			
总 畸 变 数	0	3	4	7	0
总 畸 变 率※	—	0.60	3.2	1.56	0/920
多倍体频率	19/383	6/500	—	13/441	17/920

※总畸变率为每100个细胞中的染色体击中断裂数。

※※即27rad组一只♂兔与正常♀兔交配后的子代共3只和84.5rad组一只♀兔与正常♂兔交配后的子代共6只。

从三个受照组家兔的染色体畸变类型来看，随累积剂量的增加而染色体畸变类型增多。三个受照组染色体畸变率分别为1.35rad组，畸变率0.6%；27rad组畸变率3.2%；84.5rad组畸变率1.56%，而正常组未见到畸变。见表6。

实验中，中子照射后不同累积剂量组，未发现多倍体频率随累积剂量增加而增加的趋势。